

مقایسه خصوصیات میکرومورفولوژیکی خاکهای شور-سدیمی و غیرشور- غیرسدیمی اطراف دریاچه ارومیه

ساغر چاهرلو^{۱*} - شهرام منافی^۲ - احمد حیدری^۳

تاریخ دریافت: ۱۳۹۲/۸/۳۰

تاریخ پذیرش: ۱۳۹۳/۵/۴

چکیده

تصور انجام مطالعات دقیق تشکیل خاک بدون کمک میکرومورفولوژی مشکل است. برخی فرآیندها در سطح ماکرومورفولوژی به اندازه کافی واضح و گویا نیستند. میکرومورفولوژی مطمئن‌ترین روش برای تشخیص همه فرآیندهای پیچیده در خاک است. در این تحقیق به منظور مقایسه خصوصیات میکرومورفیک خاک‌های شور-سدیمی و غیرشور- غیرسدیمی اراضی غرب دریاچه ارومیه، چهار خاک‌خ (دو خاک‌خ در اراضی شور-سدیمی و دو خاک‌خ در اراضی غیرشور- غیرسدیمی) مورد بررسی قرار گرفتند. پس از تشریح و نمونه‌برداری خاک‌خ‌ها طبق روش‌های استاندارد، تجزیه‌های فیزیکوشیمیابی انجام و مقاطع نازک از نمونه‌های دست‌نخورده و جهت‌دار تهیه شدند و با میکروسکوپ پلاریزان^۴ مورد مطالعه قرار گرفتند. بررسی مقاطع نازک^۵ نشان داد خاک‌های شور-سدیمی فاقد ریزاسختمان بوده و منافذ آنها عمدتاً از نوع ستاره‌ای است. منافذ کanal و صفحه‌ای نیز در خاک‌ها مشاهده شدند. در خاک‌های غیرشور- غیرسدیمی، خاک‌ها دارای ریزاسختمان می‌باشند و منافذ آنها عمدتاً از نوع حفرات آرایشی مرکب بوده است و همچنین حفرات کanal، صفحه‌ای و ستاره‌ای نیز مشاهده شدند. بی-فایبریک هردو خاک عمدتاً از نوع بلوری است. عوارض خاک‌ساز خاک‌های شور-سدیمی عبارتند از: پوشش‌های رس‌تهنشیستی، تجمعات نمک شامل پوشش‌ها و پرشدگی‌های نمک که در داخل منافذ کanalی و ستاره‌ای مشاهده شدند ولی خاک‌های غیرشور- غیرسدیمی فاقد این عوارض بودند. پوشش‌های آلی نیز به صورت لکه‌هایی سیاه رنگ و در مواردی به صورت مخلوط با توده ریز خاک فقط در خاک‌های شور-سدیمی مشاهده شدند. تجمعات آهکی شامل انواع گرهک‌های تیبیک، پرشدگی‌ها، پوشش‌های آهکی و تجمعات اکسیدهای آهن و منگنز به صورت گرهک‌ها و پوشش‌ها در هر دو خاک شور-سدیمی و غیرشور- غیرسدیمی مشاهده گردیدند.

واژه‌های کلیدی: خاک شور-سدیمی، دریاچه ارومیه، میکرومورفولوژی

مقدمه

خاک‌های حاوی املاح محلول، گسترش نسبتاً زیادی در مناطق خشک و نیمه‌خشک جهان دارند. با وجود این، اطلاعات کمی در رابطه با فرآیندهای تشکیل و همچنین خصوصیات میکرومورفیک آنها وجود دارد (۱۷). لذا انجام مطالعات میکرومورفولوژیکی جهت شناخت بهتر و مدیریت این قبیل خاک‌ها امری ضروری به نظر می‌رسد. در

خاک‌های مناطق خشک یکی از غالب‌ترین املاح کلرید سدیم یا هالیت^۶ است. هالیت پدوزنیک اشکال بلوری متنوعی دارد و فراوانی و تنوع این اشکال در اعماق مختلف و همچنین در خاک‌خ‌های^۷ مختلف بسیار متغیر است (۱۱ و ۲۷). مقیسه و حیدری (۳۰) نیز در خاک‌های شور و گچی بهم، حضور همزمان پوشش‌های هالیتی و بلورهای مکعبی هالیت را همراه با فرم‌های خاک‌ساز گچ گزارش نموده و آن را نشانه پلی‌تیبیک^۸ بودن این خاک‌ها دانسته‌اند. در مطالعات میکرومورفولوژیکی انجام گرفته در خاک‌های شور و سدیمی، به ندرت اشکال مختلف عوارض خاک‌ساز ناشی از املاح و کربنات‌ها نشان داده شده‌اند. سپردار و همکاران (۵) با بررسی خصوصیات مینرالوژیکی و

۱- دانش آموخته کارشناسی ارشد و استادیار گروه علوم خاک، دانشکده کشاورزی، پردیس نازلو، دانشگاه ارومیه
۲- نویسنده مسئول: (Email: saghar.chakherloo@yahoo.com)
۳- دانشیار گروه مهندسی علوم خاک، پردیس منابع طبیعی و کشاورزی، دانشگاه تهران

6- Hallite

7- Profiles

8- polygenetic

4- Polarizing Microscope

5- Thin sections

دریاچه اورمیه با متوسط ارتفاع ۱۲۷۷ متر از سطح دریای آزاد انجام گرفت (شکل ۱). بر اساس نقشه مطالعات ارزیابی منابع و قابلیت اراضی استان آذربایجان غربی از نظر فیزیوگرافی این منطقه بر روی دشت رسوی با شیب ملایم به طرف دریاچه اورمیه واقع شده است. منطقه مطالعاتی بین عرض‌های جغرافیایی $37^{\circ} 45'$ و $37^{\circ} 30'$ شمالی و طول‌های جغرافیایی $45^{\circ} 00'$ و $45^{\circ} 15'$ شرقی قرار گرفته است. براساس داده‌های هواشناسی 30° ساله ($1975-2005$) ایستگاه هواشناسی اورمیه، محاسبات برنامه کامپیوترا نیوهال، رژیم‌های رطوبتی و حرارتی این منطقه به ترتیب زیریک و مزیک محاسبه شدند که با نقشه رژیم‌های رطوبتی و حرارتی ایران (13) نیز همخوانی دارد. بر اساس نقشه‌های توپوگرافی و مشاهدات صحراوی اولیه، 8 خاکرخ در دو ردیف اراضی (هر ردیف اراضی متشکل از 4 خاکرخ) مورد بررسی قرار گرفت که در این مقاله نتایج دو خاکرخ از هر ردیف ارائه شده‌اند. ردیف اول متشکل از خاک‌های سور-سدیمی ناشی از دریاچه اورمیه (خاکرخ‌های 2 و 4) و ردیف دوم متشکل از خاک‌های غیرشور-غیرسدیمی (خاکرخ‌های 5 و 7) می‌باشد. خاکرخ شماره 2 در منطقه اردوشاهی، خاکرخ شماره 4 در منطقه حصار حاجی‌لا، خاکرخ شماره 5 در منطقه امامزاده غریب حسن و خاکرخ شماره 7 در منطقه دولاما خفر گردیدند. در شکل 1 موقعیت خاکرخ‌های دو ردیف اراضی در منطقه اورمیه نشان داده شده‌اند.

این خاکرخ‌ها طبق روش‌های استاندارد (36) تشریح و نمونه-برداری شدند و خصوصیات فیزیکوشیمیایی آنها بر اساس روش‌های استاندارد تعیین گردید. جهت انجام مطالعات میکرومورفولوژی، مقاطع نازک به روش بنی آرکو و استوپس (14) تهیه شده و با استفاده از میکروسکوپ پلاریزان Olympus مورد مطالعه قرار گرفته و تشریح و تفسیر شدند و نهایتاً از عوارض مورد نظر عکسبرداری شد.

نتایج و بحث

در جدول 1 برخی از نتایج فیزیکوشیمیایی و رده‌بندی و در جدول 2 خصوصیات میکرومورفیک خاکرخ‌های مورد مطالعه ارائه شده است.

با توجه به مقادیر بالای پارامترهای SAR، ESP در خاکرخ‌های 2 و 4 ، هر دوی این خاکرخ‌ها سور-سدیمی بوده و دارای افق مشخصه ناتریک می‌باشند در حالیکه مقدار پارامترهای ذکر شده در خاکرخ‌های 5 و 7 پایین بوده و این خاکرخ‌ها غیر‌شور-غیرسدیمی بوده و دارای افق مشخصه کلسیک می‌باشند (37).

بر اساس مشاهدات میکروسکوپی (جدول 2 ، خاک‌های سور-سدیمی (خاکرخ‌های 2 و 4) قادر ریزساختمان^۱ هستند (شکل a, b) ولی خاک‌های غیرشور-غیرسدیمی (پروفیل‌های 5 و 7) دارای ریزساختمان می‌باشند (جدول 2).

میکرومورفولوژیکی پوسته‌های نمکی^۱، بلورهای مکعبی شکل هالیت را به صورت پوشش‌هایی روی دیواره حفرات و همچنین به صورت توده‌های متراکم در زمینه خاک^۲ مشاهده کردند. مقیسه و همکاران (8) در خاک‌های سور و گچی بهم، بلورهای مکعبی شکل هالیت را به صورت پوسته‌ای درون حفرات^۳ گزارش کرده و از طریق مشاهدات SEM نشان دادند که این بلورهای مکعبی شکل هالیت در زیر بلورهای عدسی شکل، دانه‌ای و فیبری شکل گچ قرار دارند. عباسلو و همکاران (9) در خاک‌های منطقه خشک هرمزگان، پوسته‌های نمکی را به صورت یک لایه نازک و تقریباً پیوسته مشاهده کردند. این قبیل پوسته‌ها توسط آمیت و یالون (11) و ویدر و همکاران (40) به نام پوشش‌های پخشیده مومنی^۴ نامیده شده‌اند. احمد (10) در خاک‌های بیابانی هند نیز تجمعات نمکی را به صورت پوشش‌هایی در سطح ذرات اسکلتی و پرشدگی‌های^۵ منافذ کانالی^۶ و ستاره‌ای^۷ گزارش نموده است. بر اساس مطالعات میکرومورفیک وهیب و ابراهیم (38)، در خاک‌های سور مرکز عراق، منافذ عمده‌ای از نوع ستاره‌ای و چمیر^۸ و مقداری منافذ کانالی هستند و ریز ساختمان خاک‌ها عمده‌ای از نوع ستاره‌ای و اسفنجی^۹ همراه با کمی مکعبی بدون پوشش زاویه می‌باشند. در این خاک‌ها اشکال خاکساز نمک شامل

پوشش‌های نمکی و نمک‌ها عمده‌ای از نوع کلراید گزارش شده‌اند. در اراضی مجاور دریاچه اورمیه، املاح فراوان انتقال یافته از دریاچه اورمیه به طرق مختلف و همچنین سطح ایستابی بالا، سبب شده است که بخش قابل توجهی از خاک‌های منطقه که سابقاً بخشی از زمین‌های زراعی بوده‌اند، دچار مشکلات ناشی از سور و سدیمی شدن گردیده‌اند. لذا شناخت ویژگی‌های این خاک‌ها از جنیه‌های مختلف جهت بهره‌برداری و مدیریت بهینه آنها ضروری می‌باشد و میکرومورفولوژی به عنوان یک ابزار دقیق کمک شایانی به شناخت این خاک‌ها می‌کند. از این رو چهت مقایسه خصوصیات میکرومورفیک اراضی سور-سدیمی و غیرشور-غیرسدیمی پیرامون دریاچه اورمیه، تحقیق حاضر در بخشی از مناطق غرب دریاچه که تحت تأثیر این فرآیندها بوده است، انجام پذیرفت.

مواد و روش‌ها

این مطالعه در 17 کیلومتری شرق اورمیه و دو کیلومتری غرب

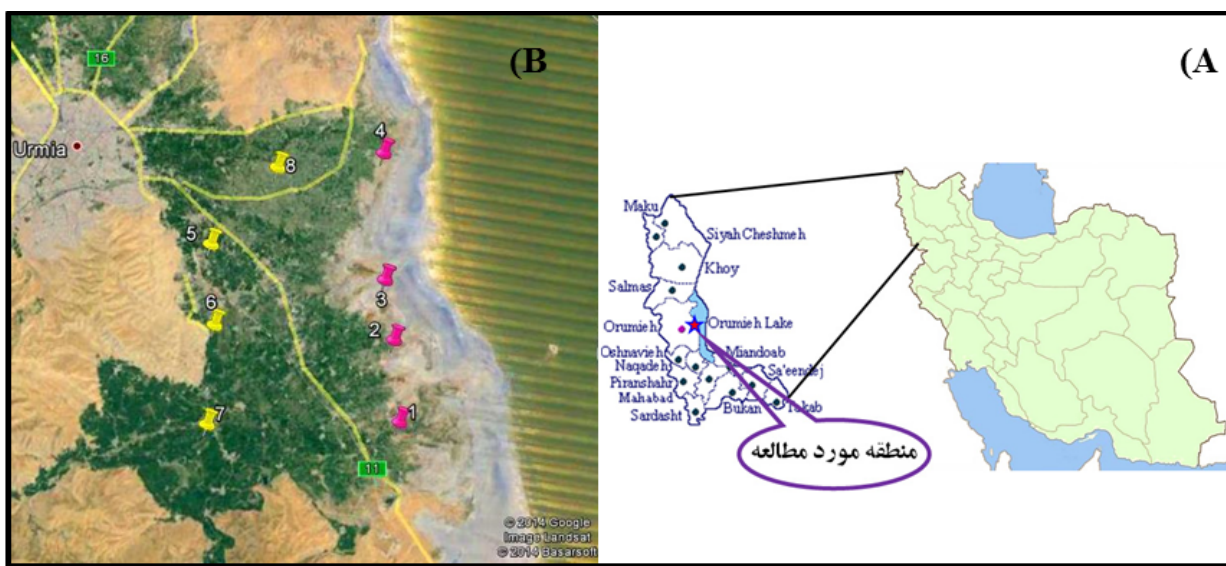
- 1- Salt coatings
- 2- Ground mass
- 3- Voids
- 4- Diffuse waxy coatings
- 5- Infillings
- 6- Channel
- 7- vughy
- 8- Chamber
- 9- Spongy

جدول ۱- برخی از خصوصیات فیزیکوشیمیابی خاکهای مورد مطالعه

Profile no.	Horizon	Depth (cm)	Particle size distribution (%)			Exchangable Cations (cmol/kg)				CEC (cmol/kg)	EC (dS/m)	pH	%O _C	ESP (%)	SAR
			Sand	Silt	Clay	Na ⁺	K ⁺	Ca ²⁺	Mg ²⁺						
fine,mixed,semiactive,mesic,Typic Natrixralfs															
2	A	0-20	31.4	26.7	41.8	15.1	0.94	4.82	4.02	24.8	14.88	8.4	1.2	84.51	63.32
	Btn	20-35	24.8	29.7	54.4	18.3	0.56	4.41	4.36	23.4	25.92	9	0.8	89.47	138.84
	Btkn1	35-56	22.7	22.3	54.9	20.5	0.59	5.27	3.61	27.7	10.36	8.7	0.3	88.39	60.57
	Btkn2	56-83	23.8	32.6	43.6	22.1	0.59	2.42	4.3	24.7	8.45	8.7	0.3	91.25	46.85
	C	83-155	15.4	51.7	32.8	14.5	0.52	1.75	6.24	23	7.27	8.7	0.02	66.33	42.78
fine,mixed,semiactive,mesic,Typic Aquisalids															
4	Az1	0-20	42.5	24.7	32.8	22.4	1.8	3.6	1	28.9	123.2	8.5	0.5	77.5	62.9
	Az2	20-41	27.4	27.3	35.4	19.5	1.7	4.8	1.1	27	67.3	9.2	0.6	72	57.1
	Btn1	41-93	5.6	59	35.3	17.6	0.9	3.2	4.9	26.7	48.6	8.9	0.1	66	78.7
	Btn2	93-127	20.5	39.4	40.1	21.9	1.5	3	4.2	30.7	43.1	9	0.09	71.5	84.8
fine,loamy,mixed,superactive,mesic,Calcic Haploxerolls															
5	Ap	0-20	33.7	38.7	27.5	2	1.7	12.5	5.6	21.9	1.7	7.8	3.2	9	0.2
	Bw	20-50	50	33.5	16.2	2.5	2.5	13	13.9	32	1.9	8.2	3.1	7.7	0.2
	Bk1	50-70	26.2	26.2	47.5	2.2	2.6	9.3	5.3	19.5	3.4	7.9	0.6	11.5	0.2
	Bk2	70-102	35	38.7	26.25	2.4	2.7	10.6	10.6	26.3	2.9	7.7	1.7	9.3	0.2
	C	102-160	32.5	20	47.5	2.5	0.7	11.3	3.2	17.7	3.5	7.7	0.2	14	0.2
Very fine,mixed,active,mesic,Calcic Haploxerolls															
7	Ap	0-20	13.7	32.5	53.7	2.1	3.9	10.7	11.9	28.6	1.4	8.1	1.6	7.3	0.3
	A	20-42	12.5	28.7	58.7	2.6	2.9	9.8	13.6	29	0.1	7.8	1.4	9.1	0.2
	Bw	42-65	10	27.5	62.5	2.1	2.8	12.8	12	29.7	0.8	8.3	0.6	7.2	0.2
	Bk1	65-100	11.2	27.5	61.2	2.4	2.6	11.9	10.9	27.9	0.9	8.2	0.3	8.5	0.4
	Bk2	100-150	13.7	25	61/2	3.6	2.5	10.8	9.6	26	0.1	8.2	0.2	13.7	0.3
	Bk3	150-190	13.7	22.5	63.7	3.6	2.2	8.8	7.3	21.9	1.6	8.1	0.2	16.3	0.5

بلغت بالا بودن pH خاک ماده آلی موجود در خاک تجزیه می‌گردد. این عوامل در خاکهای شور-سدیمی مانع از تشکیل خاکدانه می‌گردند. در خاکهای غیرشور-غیرسدیمی به دلیل حضور ماده آلی بیشتر و همچنین مقدار کم سدیم خاکدانه‌ها تشکیل یافته و از بین نرفته‌اند. علی‌رغم اینکه تمامی افق‌های خاکهای غیرشور-غیرسدیمی (خاک‌خ ۷۵) دارای خاکدانه می‌باشند، ولی نوع خاکدانه‌ها در افق‌های سطحی و زیر سطحی، متفاوت می‌باشند.

با توجه به اینکه شرایط اقلیمی، مواد مادری و مواد آلی هر دو گروه خاک‌ها (شور-سدیمی و غیرشور-غیرسدیمی) یکسان است و با در نظر گرفتن اینکه ماده آلی عامل مهم هم‌آوری ذرات خاک یعنی تشکیل خاکدانه می‌باشد (۱۶)، می‌توان عدم تشکیل خاکدانه در خاکهای شور-سدیمی را اینگونه توضیح داد که در خاکهای شور-سدیمی وجود سدیم تبادلی فراوان (جدول ۱) باعث پراکندگی خاک شده و مانع از کنار هم قرار گرفتن ذرات خاک می‌گردد و همچنین



شکل ۱- (A) موقعیت تقریبی منطقه مورد مطالعه در ایران و استان آذربایجان غربی و (B) محل خاکرخ‌های مورد مطالعه در اراضی متاثر از املاح غرب دریاچه ارومیه (علامت‌های صورتی: خاک‌های سور-سدیمی و علامت‌های زرد: خاک‌های غیرشور-غیرسدیمی)

ستاره‌ای هستند (شکل ۳d). منافذ ستاره‌ای کم و بیش هم بعد و نامنظم، با دیواره‌های صاف یا زبر (دندانه‌دار) هستند که توسط منافذ دیگر به هم وصل نشده‌اند. این منافذ در اثر اتصال خاکدانه‌ها یا ملاشی شدن ساختمان خاک و یا در اثر انحلال اجزای خاک به وجود می‌آیند (۳۷). با توجه به مقادیر فراوان رس و کربنات کلسیم در این خاک‌ها (جدول ۱)، احتمالاً منافذ ستاره‌ای در اثر تجمع و اتصال ذرات رس و آهک تشکیل شده‌اند. بر روئ (۱۵)، نیز چنین مکانسیم برای تشکیل این منافذ بیان کرده است. عاکف و همکاران (۶) و شریفی-گرمدره (۳۳) نیز در مطالعات خود گزاراشات مشابهی داشته‌اند. حفرات غالب در خاک‌های غیرشور-غیرسدیمی از نوع آرایشی مرکب^۴ می‌باشند. از جمله منافذ مشترک در هر دو خاک‌های سور-سدیمی و غیرشور-غیرسدیمی حفرات کانالی می‌باشند. این منافذ اساساً محل عبور کانال‌های ریشه یا مجاری جانوران حفار می‌باشند (۳۷). تشکیل این حفرات حاکی از فعالیت‌های بیولوژیکی در این خاک‌ها می‌باشد. به اعتقاد بر روئ (۱۵) منافذ کانالی در اثر تجزیه ریشه گیاهان و همچنین فعالیت‌های جانوران خاکزی از قبیل کرم‌های خاکی ایجاد می‌شوند.

در افق‌های سطحی خاکدانه‌ها اغلب کروی^۱ شکل هستند (شکل ۳a,b) در حالیکه در افق‌های زیرسطحی خاکدانه‌ها شامل انواع بلوکی زاویه‌دار^۲ و نیمهزاویه‌دار^۳ با تفکیک متوسط تا کامل می‌باشند. تشکیل خاکدانه‌های کروی تابع چندین فاکتور از جمله مواد آلی، کاتیون جذب شده، شخم و تراکم و غیره می‌باشند (۲۰-۳۲). مواد آلی عامل اصلی ایجاد و پایداری خاکدانه‌های نوع کروی می‌باشند. ترکیبات آلی نظیر ترشحات آلی ریشه گیاهان، بقایای گیاهی تجزیه شده، فرآورده‌های میکروبی و غیره اتصالاتی بین ذرات منفرد خاک ایجاد می‌نمایند که ذرات را به یکدیگر پیوند داده و به صورت خاکدانه‌های پایدار در می‌آورد. کاتیون جذب شده نیز در تشکیل خاکدانه‌های کروی حائز اهمیت می‌باشند. منافی (۲۸) اظهار داشت وجود خاکدانه‌های بدون زاویه و همچنین دانه‌ای در افق‌های سطحی خاک‌های نیمه‌خشک منطقه رشکان اورمیه می‌تواند به دلیل وجود ماده آلی زیاد و فعالیت‌های زیستی بیشتر در مقایسه با افق‌های زیرین باشد. عاکف و همکاران (۶) اظهار داشتند در افق‌های زیرسطحی دلیل اینکه خاکدانه‌ها از نوع بلوکی زاویه‌دار و نیمهزاویه‌دار هستند احتمالاً به این علت باشد که در اثر تر و خشک شدن خاک دچار انقباض و انبساط شده و خاکدانه‌ها به شکل بلوکی در می‌آیند. همچنین ریشه‌های موجود در خاک با رشد و حجمی شدن به مواد خاکی اطراف خود فشار وارد کرده و باعث می‌شود خاکدانه‌ها بلوکی و زاویه‌دار تشکیل شوند. حفرات غالب در خاک‌های سور-سدیمی، حفرات از نوع

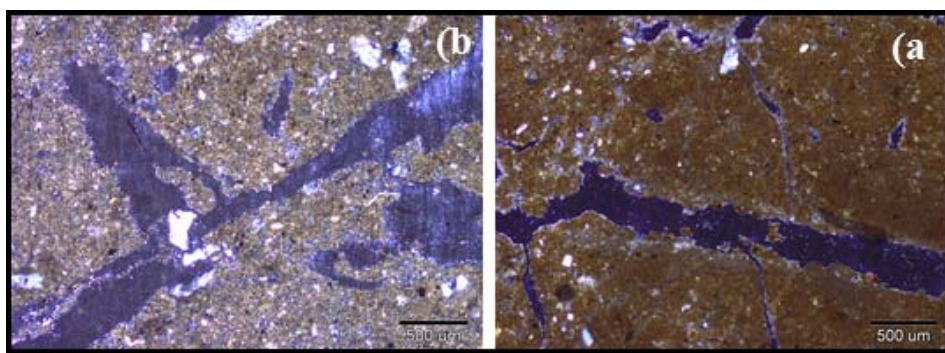
4- Compound packing voids

1- Granule
2- Angular Blocky
3- Subangular Blocky

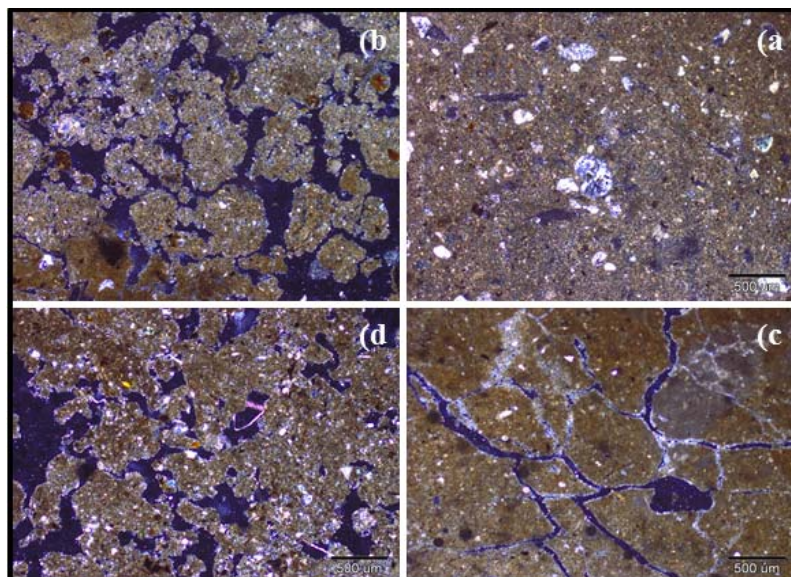
جدول ۲- خصوصیات میکرومورفیک خاکهای مورد مطالعه

Profile no.	Horizon	Depth (cm)	Voids types	Microstructure types	C/F Related distribution	b-fabric	textural	pedofeature	
								Amorphous	Crystalline
2	A	0-20	Cdp, Ch, Vu, Pn	Sb, Gr, Ab	Po(open)	Cr	—	—	—
	Btn	20-35	Ch	Ma, Ch	Po(open, close, Double space, single space)	Cr, Ss	Clay coating	—	—
	Btnk1	35-56	Ch, Vu, Pn	Sb, Ch	Po(open, close, single space)	Cr, Ss	Clay coating	N(Ty, Cac) N(Ge, Cac, Pe) N(Ty, Li, Cac) Organic Coatings	N(Ty, Cac) N(Ge, Cac, Pe) N(Ty, Li, Cac) Salts coatings
	Btnk2	56-83	Ch, Pn	Ch	Po(open)	Cr, Msp	Clay coating	N(Ty) of Fe, Mn	N(Ty, Cac) N(Ge, Cac) Coating(Ty, Salts) Inf(Cac)
	C	83-155	Ch, Vu	Ch, Vu	Po(open, close)	Cr, Ss	—	N(Fe, Mn) Coating (Fe, Mn)	N(Fe, Mn) Coating(Ty, Salts) Inf(Cac)
	Az1	0-20	Ch, Pn	Ch	Po(Open, single space)	Cr, Ss	—	Coating (Fe, Mn, Organic)	Coating(salt) N(Cac) N(Salts)
4	Az2	20-41	Cdp, Ch, Pn	Sb	Po(open, close and single space)	Cr, Msp	—	N(Fe) Coating (Fe Mn, Organic)	N(Cac, pe) Inf (salt) Coating(salt) N(Cac)
	Btn1	41-93	Ch	Ch	Po(open)	Cr, Msp	Clay coating	N(Fe Mn)	Inf (Salt) Coating(Salt) N(Cac)
	Btn2	93-127	Ch	Ch	Po(open, double space)	Cr, Ss	Clay coating	N(Fe Mn)	Inf (Salt) Coating(Salt) Coating(Cac)
	A	0-20	Cdp, Pn	Gr, Sb	Po(open)	Cr	—	—	N(Cac, Pe)
	Bw	20-50	Ch, Pn	Ch, Pn	Po(open)	Cr	—	N(Fe Mn)	Cac Coating
	Bk1	50-70	Cdp, Ch, Vu, Pn, Ch, Pn, Vu	Ab, Sb, Ma, Vu, Ch	Po(open)	Cr	—	N(Mn)	N(Cac, Ty)
5	Bk2	70-102	Ch, Pn, Vu	Ab, vu	Po(open)	Cr	—	N(Fe Mn) Coating(Fe Mn)	N(Cac, Pe) Cac Coating
	C	102-160	Ch, Pn, Vu	Ch, Vu	Po(open, close, single space)	Cr, Msp	—	Fe coating	N(Cac, Ty) Cac coating
	Ap	0-20	Cdp, Vu, Pn	Gr, Sb, Vu	Po(open)	Cr	—	—	N(Ty, Cac)
	A	20-42	Cdp, Vu, Pn	Gr, Sb, Vu, Spongy Vu, Ma, Ab	Po(open)	Cr	—	—	N(Li, Cac)
	Bw	42-65	Vu, Pn	Vu, Ma, Ab	Po(open)	Cr, Msp	—	N(Fe Mn)	N(Cac) Cac Coating
	Bk1	65-100	Vu, Pn	Ab, Sb, Vu	Po(open)	Cr, Ss	—	N(Ty, Mn) Mn Coating Fe Mn Coating	N(Ty, Cac) Cac Coating
7	Bk2	100-150	Vu, Pn	Ab, Ma, Spongy	Po(open)	Cr, Msp	—	N(Fe Mn) N(Mn) Fe Coating	N(Ty, Pe, Li, Cac) Cac Coating
	Bk3	150-190	Ch, Vu, Pn	Ab, Vu	Po(open)	Cr, Ss	—	N(Ty, Fe) N(Fe Mn) Mn Coating	N(Ty, Ge, Cac)

Remarks: Cdp: compound packing void, Vu: vugh, Pn: planar, Ch: channel, Ma:massive, Gr: granular, Ab: angularblocky, Sb: subangularblocky, Po: porphyric, Msp: mosaic speckled, Ss: stipple speckled, Cr: crystallitic, N:nodul, Ty: typic, Cac: Calcite carbonate, Inf: infilling, Pe: pedogenic, Li: litogenic, Ge: geodic



شکل ۲- حفرات کانالی که محل عبور ریشه‌ها و جانوران خاکزی می‌باشند. a. افق BK2 خاکرخ ۷ و b افق Bt، خاکرخ ۴، تصاویر در نور XPL تهییه شده است. بی-فابریک بلوری در اغلب نقاط تصویر b قابل تشخیص است.



شکل ۳- تصاویر ساختمان میکروسکوپی خاک‌ها در نور XPL (a) خاک بدون ساختمان در خاکرخ ۴، افق AZ1 (b) ساختمان دانه‌ای، منافذ از نوع آرایشی مرکب، خاکرخ ۷، افق Bk3 (c) خاکرخ ۷، افق Ap (d) خاکرخ ۷، افق Bk1، منافذستاره.

ریشه و در عمق ناشی از شکستگی‌های مواد گراندمس می‌باشند و یا اینکه در اثر سایر تنفس‌های مکانیکی در خاک‌ها ایجاد شده‌اند. آرفین (۱۲)، بروئر (۱۵)، عاکف و همکاران (۶) و بروئر (۱۶) نیز اظهارات مشابهی داشته‌اند.

به دلیل حضور مقدار زیادی کلسیت میکریتی^۲ در هر دو خاک‌شور-سدیمی و غیرشور-غیرسدیمی در توده ریز^۳ این خاک‌ها، بی-فابریک^۴ خاک‌های مورد مطالعه عمده‌اند از نوع بلوری است. این نوع فابریک در اثر انحلال و انتقال کربنات کلسیم و رسوب مجدد آن در افق‌های زیرین ایجاد شده است. عاکف و همکاران (۶) و منافی (۲۷) نیز نشان دادند که شستشوی آهک از سطح خاک به اعمق خاکرخ

با توجه به حضور بقایای ریشه در برخی از منافذ کانالی و همچنین فضولات جانوری در این منافذ می‌توان اظهار داشت که منافذ کانالی در این خاک‌ها دارای منشا زیستی بوده و تجزیه بقایای ریشه گیاهان و جانوران خاک ایجاد این منافذ می‌باشد. عاکف و همکاران (۶)، شریفی گرمده (۳۳) و چاخرو و منافی (۲) نیز در مطالعات خود تشکیل حفرات کانالی را ناشی از فعلیت گستردۀ کرم خاکی دانسته‌اند (شکل ۲). حفرات از نوع صفحه‌ای^۱ نیز در خاک‌های شور-سدیمی و غیرشور-غیرسدیمی مشاهده شد (شکل ۳). این حفرات ممکن است بر هم‌دیگر منطبق باشند یا نباشند و صاف یا زبر باشند که در اثر انقباض یا لغزش به وجود می‌آیند (۳۷). این درز و ترک‌ها در شرایط عدم یکنواختی مواد یا انبساط و انقباض حاصل از مرتبط و خشک شدن نامنظم و یا مربوط به گسترش در طول بقایای

2- Micrite
3- Micromass
4- b-fabric

1- Planar

احتمالی تشکیل افق‌های ناتریک در این خاک‌ها را اقلیم مرطوبتر گذشته دانست. اما با توجه به اینکه هر دو گروه خاک‌های مورد مطالعه (شور-سدیمی و غیرشور-غیرسدیمی) در شرایط اقلیمی مشابهی قرار دارند و دارای مواد مادری یکسان و موقعیت مشابهی از نظر شیب و توپوگرافی هستند، ولی پوشش‌های رسی فقط در خاک‌های شور-سدیمی دیده شده است، می‌توان اظهار داشت که در صورتیکه اقلیم مرطوبتر گذشته عامل انتقال رس و تشکیل افق‌های آرجلیک (ناتریک) در این خاک‌ها باشد، در این صورت باستی افق‌های آرجلیک (ناتریک) را در هر دو گروه از خاک‌ها (خاک‌های غیرشور-غیرسدیمی و خاک‌های شور-سدیمی) مشاهده می‌شوند. در حالیکه افق‌های آرجلیک (ناتریک) تنها در خاک‌های شور-سدیمی شناسایی شدنند. لذا، به نظر می‌رسد مکانیسم دیگری به غیر از اقلیم مرطوبتر گذشته در تشکیل افق‌های آرجلیک (ناتریک) در این خاک‌ها نقش داشته است. تفاوت عمدۀ این دو گروه از خاک‌ها شور-سدیمی بودن بالای خاک‌های ۲ و ۴ (جدول ۱ و ۲) می‌باشد و احتمالاً سدیم تبادلی بالای این خاک‌ها (خاک‌های شور-سدیمی) (جدول ۱) سبب پراکندگی و انتقال ذرات رس و تشکیل پوشش‌های رسی و در نتیجه تشکیل افق‌های ناتریک^۵ در افق‌های زیری گردیده است. بر اساس گزارشات موسسه حاکشناسی امریکا (۳۴) خاصیت پراکندگی سدیم می‌تواند سبب پراکنش و انتقال ذرات رس و تشکیل افق‌های ناتریک گردد. خرمالی و همکاران (۲۴) در مطالعه میکرومورفولوژیکی افق آرجلیک خاک‌های شور و سدیمی جنوب ایران، پوسته‌های رسی را گزارش کردند که در معرض سدیم بالا قرار داشتند. بر اساس این گزارش، اغلب این پوسته‌ها به صورت قطعات پراکنده مشاهده گردیده‌اند و به نظر می‌رسد که پوسته‌ها از نوع رس درشت تشکیل شده باشند. این نوع پوسته‌های رسی ویژه افق‌های ناتریک می‌باشد که رس درشت در اثر انتشار توسط یون سدیم حرکت نموده و در افق‌های زیرین تجمع یافته است. کاثومانو و همکاران (۲۲) با مطالعه خاک‌های ناترآکوالف تایلند اظهار داشتند که در این خاک‌ها تجمع رس در خاک زیر سطحی و تجمع املاح محلول در خاک‌های سطحی و زیر سطحی نشانگر افق‌های آرجلیک و ناتریک است. این محققان افزایش ذرات رس در اعمق زیرین خاک، (یعنی جاییکه پوشش‌ها به وضوح دیده می‌شوند)، را ناشی از ایلوویشن رس و لسیویچ^۶ دانسته‌اند و وقوع این فرایندها را به pH بالای خاک و هیدرولیز کربنات سدیم نسبت داده‌اند. نتایج مشابهی نیز توسط خرمالی و همکاران (۴) گزارش شده است.

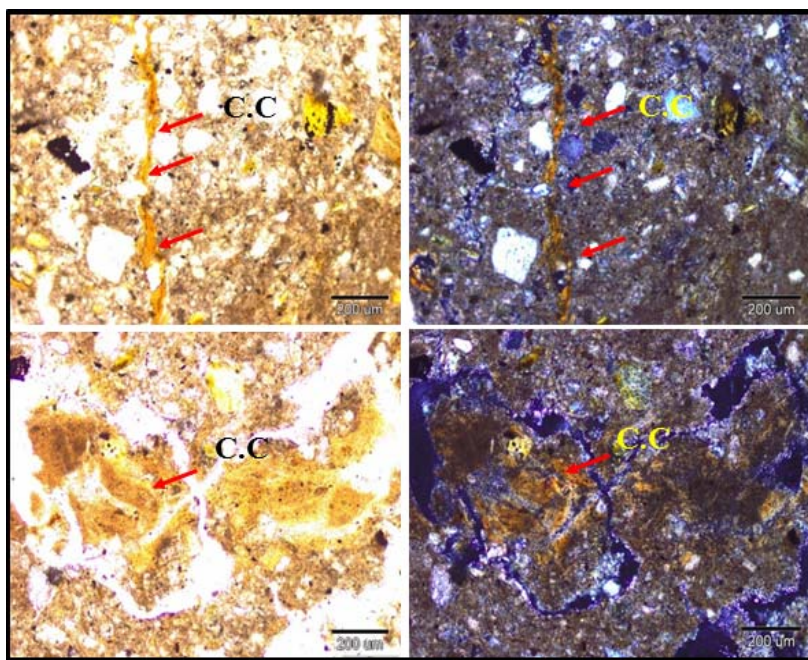
باعث ایجاد بی‌فابریک بلوری شده است (شکل ۲). یکی از بازترین عوارض خاکساز در خاک‌های شور-سدیمی (خاک‌های ۲ و ۴؛ جدول ۲) پوشش‌های رس تنه‌نشستی هستند. خاک‌های رسی در افق‌های مختلف خاک‌های مختلف در دامنه ۵-۱۲ μm متغیر است و فراوانی آنها با عمق افزایش می‌یابد. همانطور که ملاحظه می‌شود، بر اساس نتایج فیزیکوشمیایی، در تمامی خاک‌های مورد مطالعه در خاک‌های شور-سدیمی (خاک‌های ۲ و ۴) و غیرشور-غیرسدیمی (خاک‌های ۵ و ۶) میزان رس خاک‌ها با عمق افزایش یافته است (جدول ۱). در حالیکه در مطالعات صحراوی علاوه‌جمع رس (پوسته‌های رسی) مشاهده نگردیدند و در مطالعات میکرومورفیک نیز در خاک‌های غیرشور-غیرسدیمی، عوارض تجمع رس مشاهده نشد و پوشش‌های رسی^۱ تنها در خاک‌های شور-سدیمی مشاهده گردیدند (جدول ۲). پدیده ته‌نشست رس در اقلیم خشک و نیمه‌خشک به علت کمی رطوبت، آهکی بودن اکثر خاک‌ها و غیره معمولاً یا رخ نمی‌دهد یا خیلی کم و نایپوسته است. در نتیجه علائم مشخصه افق آرجلیک در خاک‌های مناطق خشک و نیمه‌خشک اکثراً غیر واضح می‌باشد (۲۳). لذا به نظر می‌رسد اقلیم نیمه‌خشک فعلی منطقه و مقادیر فراوان کربنات کلسیم در این خاک‌ها (جدول ۱) مانع از جابجایی و انتقال رس و تشکیل افق‌های آرجلیک^۲ در خاک‌های غیرشور-غیرسدیمی (خاک‌های ۵ و ۶) گردیده است. از طرف دیگر تجمعات رسی خاک‌های شور-سدیمی (خاک‌های ۲ و ۴) هم در مطالعات صحراوی و هم در مطالعات میکرومورفیک شناسایی شدنند. طبق اظهارات محمودی (۷) در شرایط خشک و نیمه‌خشک و همچنین در خاک‌های آهکی، شستشو و انتقال رس بسیار نامحتمل به نظر می‌رسد و در نتیجه افق‌های آرجلیک (ناتریک) در این قبیل خاک‌ها با احتمال قوی در یک اقلیم مرطوبتری نسبت به حال حاضر تشکیل شده‌اند. درگنه (۱۹)، خرمالی و همکاران (۲۴) و محمودی (۷) نیز معتقد هستند که وجود این قبیل افق‌ها در مناطق خشک معرف اقلیم مرطوب‌تر پیشین می‌باشد. خریسات و کودا (۲۵) حضور افق‌های آرجلیک و پوسته‌های رسی را به پایداری سطح خاک نسبت داده‌اند. این محققان فرآیندهای الوویشن^۳-ایلوویشن^۴ کربنات و رس و تجمع املاح را فرآیندهای پدوژنیک غالب در دشت ازرق اردن معرفی کرده و اظهار داشته‌اند که ایلوویشن رس و تشکیل افق آرجلیک در این خاک‌ها یک عارضه باقیمانده از اقلیم مرطوب‌تر در طول کواترنر می‌باشد و اینکه این خاک‌ها در یک اقلیم مرطوب‌تر تشکیل شده و متعاقباً اقلیم به طور تدریجی به سمت خشکی تغییر یافته است. با توجه به مطالعات فوق، می‌توان یکی از مکانیسم‌های

1- Clay coatings

2- Argillic Horizon

3- Alluviation

4- Illuviation



شکل ۴- تصاویر پوشش‌های رس ته‌نشستی در خاک‌های مورد مطالعه. تصاویر از افق Btkn1 خاک‌خ. ۲. تصاویر سمت راست در نور XPL و تصاویر سمت چپ در نور PPL تهیه شده است.

محدود است. این در حالیست که در خاک‌های غیرشور-غیرسدیمی به دلیل اینکه از دریاچه اورومیه فاصله بیشتری دارند آثاری از تجمعات و پرشدیگی‌های نمکی مشاهده نشد.

تجمعات آهکی از دیگر عوارض خاکساز در هر دو گروه از خاک‌های شور سدیمی و خاک‌های غیرشور-غیرسدیمی هستند. در خاک‌های مورد تحقیق تجمعات آهکی شامل انواع گرهک‌های تیبیک^۱، و پوشش‌های آهکی^۲ می‌باشند (جدول ۲). گرهک‌های تیبیک آهکی در این خاک‌ها به صورت توده‌های میکریتی هستند که دارای فایبریک داخلی مشابه با توده ریز خاک بود و مرز آنها با مواد خاکی مجاور پخشیده است (شکل ۶). قطرگرهک‌ها در این خاک‌ها در دامنه ۰-۱۰ mm متغیر بوده و اندازه و فراوانی آنها با عمق افزایش می‌یابد. این گرهک‌ها در اثر رسوب کربنات در توده ریز خاک تشکیل شده‌اند. فرم دیگر تجمعات آهکی در این خاک‌ها پوشش‌های آهکی هستند که به صورت پوشش‌هایی در سطوح منافذ (شکل ۶(b, c)) و پوشش‌های زیرسطحی در مجاورت منافذ خاک (شکل ۶(d, e)) تشکیل شده‌اند و متشکل از کلسیت میکریتی هستند. احتمالاً این پوشش‌ها در اثر تبخیر آب در منافذ خاک و همچنین خشکی ناشی از جذب آب توسط ریشه گیاهان و متعاقباً رسوب کلسیت در سطح منافذ تشکیل شده‌اند. طبق اظهارات ویدر و یالون (۳۹) پوشش‌های

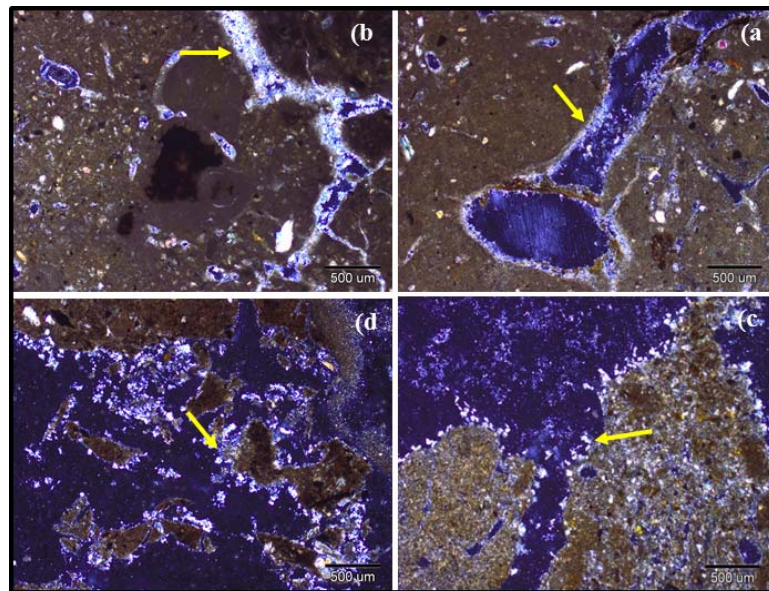
عارضه خاکساز بعدی تجمعات نمکی هستند که بخشی از این تجمعات به صورت پوسته‌های نایپوسته و متشکل از بلورهای مکعبی و سابهدرال هالیت در سطوح منافذ و خاکدانه‌ها مشاهده می‌شوند (شکل ۵-۵و). این بلورها دارای توجیه‌شدگی ترجیحی هستند و به موازات سطوح منافذ آرایش یافته‌اند. در اعماق پایین تر اندازه بلورهای تشکیل دهنده پوسته‌های نمکی کاهش می‌یابد و پوسته‌های نمکی به صورت یک لایه نازک و تقریباً پیوسته که در منابع به نام پوشش‌های پخشیده مومی نامیده شده‌اند، مشاهده شده در این خاک‌ها تقریباً نمک در هر دو نوع پوسته‌های مشاهده شده در این خاک‌ها تقریباً خالص بودند و قادر مواد خاکی توده خاکی مجاور هستند. ضخامت پوسته‌ها در افق‌های مختلف در دامنه ۸-۴۵ μm و اندازه بلورهای نمک نیز در دامنه ۴-۲۰ μm تغییر می‌کند. به نظر می‌رسد پوشش‌های نمکی در این خاک‌ها در اثر صعود مویینگی از سطح ایستایی بالا و تبخیر و رسوب املاح در سطح یا نزدیک به سطح خاک تشکیل شده‌اند. یکی دیگر از عوارض مربوط به تجمعات املاح در این خاک‌ها پرشدگی‌های نمکی هستند (جدول ۲، شکل ۵-۵(b)) که در داخل منافذ مشاهده می‌شوند. به نظر می‌رسد تبخیر و رسوب تدریجی املاح در این منافذ منجر به تشکیل این فرم تجمعات گردیده است. نتایج مشابهی توسط عباسلو و همکاران (۹) و چاخرلو و منافی (۲۱) نیز گزارش شده است. آمیت و یالون (۱۱) و هانتا و استوپس (۲۱) اظهار داشتند که مشاهده اشکال مکعبی در زیر میکروسکوپ بسیار

1- Typic Noduls

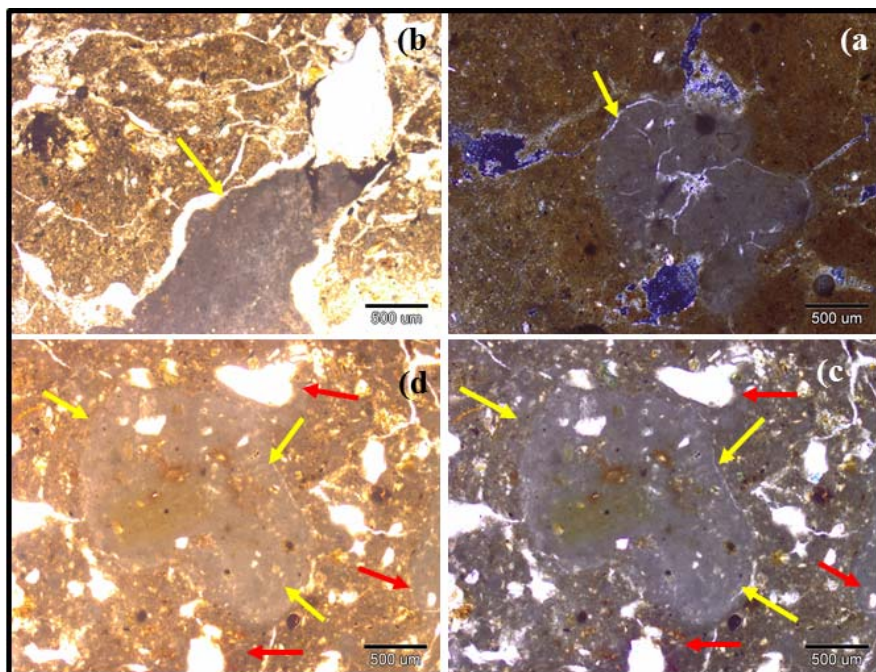
2- Calcite Coatings

در انواع خاک‌ها به خصوص خاک‌های آهکی به وفور (۲۷، ۲۸ و ۴) گزارش شده است.

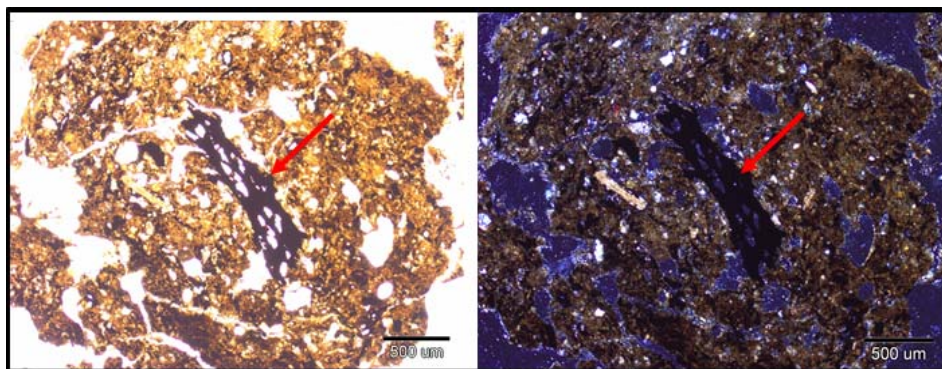
زیرسطحی آهکی از رسوب سریع کربنات از محلول خاک هستند که این امر به دلیل خشک شدن و مکش آب در اثر فعالیت‌های متابولیکی ریشه به وقوع می‌پیوندد. فرم‌های مختلف کلسیت پدوزنیک



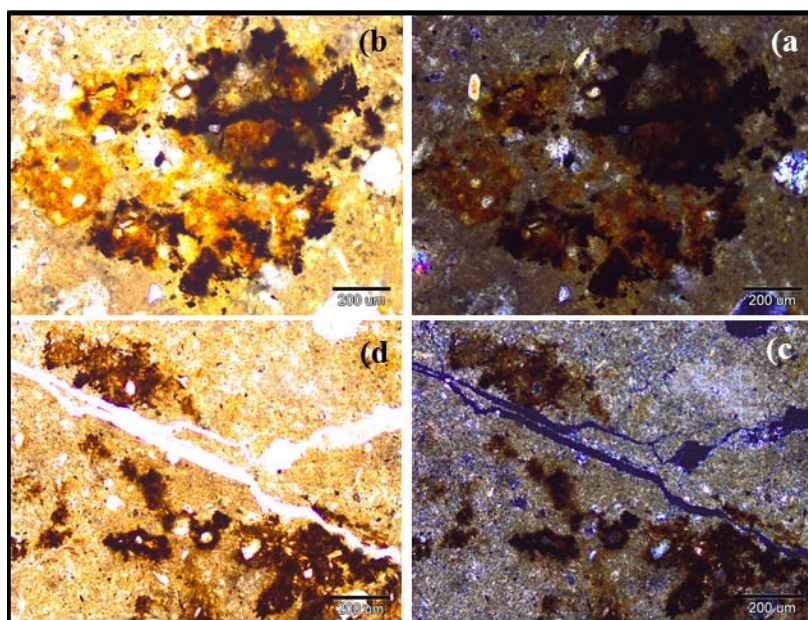
شکل ۵- تصاویر تجمعات نمک در خاک‌های مورد مطالعه. a پوشش‌های پیوسته بلورهای ریز نمک در سطوح منفذ افق Az2 خاکرخ ۴. c و d پوشش‌های ناپیوسته بلورهای درشت و مکعبی هالیت در سطوح خاکدانه‌ها و منفذ افق Az1 خاکرخ ۴. در تصویر b منفذ پر شده‌اند و تشکیل پوشش‌های ناپیوسته بلورهای درشت و مکعبی هالیت در سطوح خاکرخ ۴. در تصویر d منفذ پر شده‌اند. تصاویر در نور XPL تهیه شده‌اند.



شکل ۶- a گرهک تیبیک آهکی در افق Btkz2 خاکرخ ۵ که در حال انحلال است. b پوشش آهکی در سطح منفذ کانالی؛ افق Az2، خاکرخ ۴. C و d پوشش‌های زیرسطحی (پیکان‌های قرمز) و گرهک تیبیک آهک (پیکان‌های زرد) که به مقدار کمی رس با گرهک آهکی تلقیح شده است. افق C، خاکرخ ۷، تصاویر سمت راست در نور XPL و سمت چپ در نور PPL تهیه شده است.



شکل ۷- پوشش‌های آلی (Slick Spots) موجود در خاک‌های شور-سدیمی، افق Btkn1، خاکرخ ۲، همچنین گرهک تیپیک موروثی اکسید منگنز نیز دیده می‌شود (بیکان قرمز). تصویر سمت راست در نور XPL و تصویر سمت چپ در نور PPL تهیه شده‌اند.



شکل ۸- تصاویر تجمعات اکسیدهای آهن و منگنز در خاک‌های مورد مطالعه. تصاویر (b,a) گرهکهای تیپیک اکسیدهای آهن و منگنز در افق خاکرخ ۵. تصاویر (d,c) پوشش‌های زیرسطحی اکسیدهای آهن و منگنز پیرامون ذرات درشت در افق Bk1. خاکرخ ۴. تصاویر سمت راست در نور XPL و تصاویر سمت چپ PPL در نور تهیه شده‌اند.

عارضه خاکساز دیگر که در هر دو خاک شور-سدیمی و غیرشور-غیرسدیمی دیده شد تجمعات اکسیدهای آهن و منگنز هستند که به صورت گرهک‌هایی در توده ریز خاکها و پوشش‌هایی در سطح منافذ مشاهده می‌شوند. گرهک‌های تیپیک و پوشش‌های اکسیدهای آهن و منگنز تقریباً در تمامی افق‌ها مشاهده شد که بیان گر وجود شرایط اکسید و احیایی در منطقه می‌باشد که با نوسانات آب زیرزمینی همراه بوده است. محمد رضایی و سرمدیان (۳۱) نیز وجود گرهک‌ها و پوشش‌های اکسید آهن منگنز در تمامی افق‌های خاک‌های مورد مطالعه را نشان دهنده تحول خاک و تحت شرایط نوسانات آب زیرزمینی دانستند. مکسووینی و ماستووسکی (۲۹) گرهک‌های اکسیدهای آهن را پدوزنیک دانسته و هماتیت و موادآلی

یکی دیگر از عوارض خاکساز منحصر به فرد در خاک‌های شور-سدیمی پوشش‌های آلی هستند که در مشاهدات صحرایی به صورت لکه‌های چربی سیاه رنگ^۱ مشاهده می‌شوند که از عوارض خاص خاک‌های شور-سدیمی هستند و در تعدادی از افق‌های زیر سطحی خاک‌های مورد مطالعه مشاهده شدند. در مطالعات میکرومورفیک، این عوارض به صورت پوسته‌هایی سیاه رنگ در سطوح خاکدانه‌ها و در مواردی به صورت مخلوط با توده ریز خاک مشاهده شدند و احتمالاً ناشی از تجزیه کامل مواد آلی و آمیختگی آن با بخش ریز خاک می‌باشد (شکل ۷).

فوق، منافذ از نوع آرایشی مرکب نیز حضور داردند. در هر دو گروه خاکها، به دلیل حضور آهک میکریتی پخشیده فراوان در توده ریز خاکها، نوع بی-فابریک عمده از نوع بلوری است. ویژگی‌های خاکساز متعددی در دو گروه مختلف خاک‌ها عبارتند از تجمعات رس تنه‌نشستی و همچنین پوشش‌های آلی در افق‌های ناتریک، انواع تجمعات کربنات کلسیم ثانویه در افق‌های کلسیک و انواع تجمعات املح در افق‌های سالیک می‌باشند. افق‌های ناتریک تنها در خاک‌های شور-سدیمی حضور دارند. اشکال مختلفی از پدوفیچرهای کلسیاتی در هر دو گروه خاک‌ها مشاهده شدند که عبارتند از پوشش‌ها و پوشش‌های زیرسطحی، گرهک‌های تیپیک آهکی که متشکل از بلورهای ریز میکریتی هستند. تجمعات بلورهای نمک در افق‌های سالیک به اشکال مختلف در خاکرخهای ۲ و ۴ مشاهده گردیدند. همچنین پرشدگی‌های نمکی مشاهده می‌شوند. در هر دو گروه خاک‌ها، اکسیدهای آهن و منگنز بصورت پوشش‌ها، و پوشش‌های زیرسطحی در اطراف منافذ و همچنین به صورت گرهک‌های مختلف به شکل تیپیک حضور دارند. یکی دیگر از عوارض خاکساز منحصر به فرد در خاک‌های شور-سدیمی پوشش‌های آلی می‌باشد.

را عامل به وجود آمدن آنها ذکر می‌کنند. لی و همکاران (۲۶) نشان دادند که اکسیدهای آهن در خاک‌های اکسید شده و با زهکشی خوب حضور دارند. در حالیکه اکسیدهای منگنز در نواحی از پروفیل که متحمل اکسیداسیون و شستشوی کمتری شده است، به وجود آمده‌اند. اولیایی و همکاران (۱) خصوصیات میکرومورفولوژیکی اکسیدهای آهن و منگنز را در برخی خاک‌های استان کهگیلویه و بویراحمد مورد بررسی قرار داده و حضور پدوفیچرهای اکسید آهن و منگنز را با میزان بارندگی، شرایط زهکشی، مواد مادری، فیزیوگرافی و ریزساختمان خاک مرتبط دانسته است. بنا به گفته بولاک و همکاران (۱۸) این عوارض در نتیجه تخریب مواد فرومگنتی خالص یا نسبتاً خالص ایجاد می‌شوند (شکل ۸-a,d).

نتیجه‌گیری

مطالعه مقاطع نازک خاک‌های مورد بررسی نشان داد که خاک‌های شور-سدیمی فقد خاکدانه می‌باشند ولی خاک‌های غیرشور-غیرسدیمی دارای ریز ساختمان بودند. منافذ موجود در خاک‌های شور-سدیمی عمده‌ای شامل ستاره‌ای، کانالی و صفحه‌ای می‌باشند، در حالیکه در خاک‌های غیرشور-غیرسدیمی علاوه بر منافذ

منابع

- ۱- اولیایی ح.ر. و ادهمی ا. و فرجی ۵. مطالعه میکرومورفولوژی و کانی‌شناسی خاک‌های دشت آبریگون استان کهگیلویه و بویراحمد. مجموعه خلاصه مقالات یازدهمین کنگره علوم خاک ایران_گرگان. ۱۳۸۸-۲۴-۲۱ تیرماه. ص ۱۰۹.
- ۲- چاخلو س. و منافی ش. ۱۳۹۲. مطالعه میکرومورفیک منافذ و حفرات در برخی اراضی شور-سدیمی غرب دریاچه ارومیه. دومین همایش ملی تغییر اقلیم و تاثیر آن بر کشاورزی و محیط زیست ارومیه.
- ۳- چاخلو س. و منافی ش. ۱۳۹۲. میکرومورفولوژی املح ناشی از دریاچه ارومیه در قسمتی از اراضی شور-سدیمی غرب دریاچه ارومیه. دومین همایش ملی تغییر اقلیم و تاثیر آن بر کشاورزی و محیط زیست ارومیه.
- ۴- خرمالی ف. و ابطحی ع. و محمودی ش. ۱۳۸۲. میکرومورفولوژی افق آرجلیک خاک‌های آهکی استان فارس. هشتمین کنگره علوم خاک ایران. جلد اول. ص ۱۹۲-۱۹۴.
- ۵- سپردار ش. و دلاور م.ا. و سرابچی ع. ۱۳۸۸. بررسی خصوصیات مینرالوژیکی و میکرومورفولوژیکی پوسته‌های نمکی در اراضی دشت آییک. مجموعه خلاصه مقالات یازدهمین کنگره علوم خاک ایران_گرگان. ۱۳۸۸-۲۴-۲۱ تیرماه. ص ۱۳۲.
- ۶- عاکف م. و محمودی ش. و کریمیان اقبال م. و سرمدیان ف. ۱۳۸۲. بررسی تغییرات ویژگی‌های فیزیکوشیمیایی و میکرومورفولوژی خاک جنگل‌های طبیعی تبدیل شده به شالیزارها در منطقه فومنات گیلان. مجله منابع طبیعی ایران. ۴۰-۷-۴۲۶: ۵۶.
- ۷- محمودی ش. ۱۳۶۲. مطالعه میکرومورفولوژیکی یک خاک زرالفیک پل آرجید در منطقه گلداشت کرج. نشریه علمی و فنی دانشکده کشاورزی دانشگاه تهران. کرج-ایران. ص ۱۹-۳۲.
- ۸- مقیسه ا. و محمودی ش. و احمدی ا. ۱۳۸۸. خصوصیات بازنگری تعریف افق پتروجیپسیک در خاک‌های شور و گچی. مجموعه خلاصه مقالات یازدهمین کنگره علوم خاک ایران_گرگان. ۱۳۸۸-۲۴-۲۱ تیرماه. ص ۱۵۶.
- 9- Abbaslou H., Abtahi A and Martin Peinado F. J. 2012. Micromorphology of arid soils developed on evaporates. Proceedings of the 14th International Working Meeting on Soil Micromorphology, 8-14 July .2012. Hormozgan Province., southern, Iran.
- 10- Ahmad F. 2011. Soil classification and micromorphology: A case study of Cholistan Desert. Journal of Soil Science and Environmental Management, 2: 321-328.

- 11- Amit R., and Yaalon D. H. 1996. The micromorphology of gypsum and halite in Reg soils- the Negev desert, Israel. *Earth surfaces and landforms*, 21: 1127-1 143.
- 12- Arfin M. 2003. Micromorphological characteristics of Andisols in West Java Indonesia. *SSSA proceedings*, 56: 1-10.
- 13- Banaei M.H. 1998. Soil Moisture and Temperature Regime Map of Iran. Soil and Water Research Institute. (Ed.) Ministry of Agriculture, Iran.
- 14- Benyarku C.A., and Stoops G. 2005. Guidelines for preparation of rock and soil thin sections and polished sections. Departament de Medi Ambient i Ciències del Sòl. Universitat de Lleida, Spain.
- 15- Brewer R. 1964. Fabric and mineral analysis of soils, John Wiley and Sons Inc., NY.
- 16- Brewer R. 1976. Fabric and mineral analysis of soils. Reprint of 1964 .(ed.) With suppl. material, Robert E. Cringer Publ.Co, Huntington.,NY.
- 17- Buck B. J., Van Hoesen J., Khresat S., and Rawajfih Z. 2002. Morphology, SEM, and stable isotope analyses of pedogenic gypsum, USA, and Jordan. 17th World Congress of Soil Science, 14-24.2002. August, Thailand.
- 18- Bullock P., Fedoroff N., Jongerius A., Stoops G., Tursin T., and Babel U. 1985. Handbook for Soil Thin Section Description. Wain.
- 19- Dregne H. E. 1976. Soils of arid regions. Developments in soil science. 6. Elsevier scientific pub. Co. Amsterdam. 237pp.
- 20- Gerrard J. 2000. Fundamentals of soils. Routledge fundamentals of physical geography. Taylor & Francis group.
- 21- Hanna F.S., and Stoops G . 1976. Contribution to the micromorphology of some saline soils of the North Nile Delta in Egypt. *Pedology*, 26: 55-73.
- 22- Kaewmano Ch., Kheoruenromne I., Sudhiprakarn A and Gilkes R.J. 2010. Chemistry and clay mineralogy of Thai Natraquals. 2010. 19th World Congress of Soil Science, Soil Solutions for a Changing World. 1 – 6 August 2010, Brisbane, Australia.
- 23- Karlstrom E. T., Oviatt C. G. and Ransom M.D. 2008. Paleoenvironmental interpretation of multiple soil-loess sequence at Milford Reservoir, northeastern Kansas. *Catena*,72: 113-128.
- 24- Khormali F., Abtahi A., Mahmoodi A and Stoops G. 2003. Argillic horizon development in calcareous soils of arid and semi- arid regions of southern Iran. *Catena*776: 1-29.
- 25- Khresat S.A., and Qudah E.A. 2006. Formation and properties of aridic soils of Azraq Basin in northeastern Jordan. *Journal of arid environments*. Vol. 64: 116-136.
- 26- Lee S.Y., Philips D.H., Ammons J.T., and Lietzke D.A. 1990. A microscopic study of iron and manganese oxide distribution in soils from east Tennessee (USA) In: Douglas, L.A. soil micromorphology: A basic and applied science. *Developments in soil science* 19.Elsevier
- 27- Manafi Sh. 2010. Calcium carbonate pendants as a record of climate change in semiarid soils of Rashakan region, Urmia, Iran. *Soil science agrochemistry and ecology*,No: 4.
- 28- Manafi Sh. 2012. Micromorphic evidences of climate change in some arid and semi arid soils in the west of Urmia Lake, Western Azerbaijan, Iran. Proceedings of the 14th International Working Meeting on Soil Micromorphology. Lleida 8-14 July .2012.
- 29- Mc Sweeney K., and Fastovsky D.E. 1990. Recognition of cemented subsurface horizons in sandy soils of certaceous _ paleogenage, eastern Montana. In: Douglas, L. A. soil micromorphology: A basic and applied science. *Developments in soil science* 19.Elsevier
- 30- Moghiseh E., Heidari A. 2012. Polygenetic saline gypsiferous soils of the Bam region, Southeast Iran. *Journal of Soil Science and Plant Nutrition* 2012, 12: 729-746.
- 31- Mohamadrezaie N., and Sarmadayan F. 2009. Micromorphological study for recognition GypsicAquisalidpedofeatures. 11th Iranian soil.
- 32- Randall Schaetzl and Anderson Sh. 2005. Soils: Genesis and Geomorphology. Cambridge University press. 817 pp.
- 33- SharifiGarmdare J., Akef M., Salehi M.H., Mehnatkesh A. 2011. Study of some of physicochemical, micromorphological and mineralogical soil properties on three slope position in Chelgerd region in Chaharmahal and Bakhtiari province. MS Thesis Soil Science, Faculty of Agriculture, University of Guilan. 98p.
- 34- Soil Survey staff. 1999. Soil Taxonomy. 2nd Edition. A Basic System of Soil Classification for Making and Interpreting Soil Surveys. USDA. NRCS.
- 35- Soil Survey staff. 2003. Soil Survey Manual. Soil Conservation Service. U.S. Dept of Agriculture. Handbook 18.
- 36- Soil Survey Staff. 2010. Keys to Soil Taxonomy. 11th Edition. USDA. NRCS.
- 37- Stoops G. 2003. Guidelines for the Analysis and Description of Soil and Regolith Thin Sections (SSSA,Madison,WL), p: 184.
- 38- Wheib K. A., Ibrahim O.N. 2012. Study of morphological and micromorphological properties of some salt affected soils in the middle of Iraq. *The Iraqi Journal of Agricultural Sciences*, 43: 106-118, 2012.
- 39- Wieder M., and Yaalon D.H. 1990. Micromorphological Fabrics and Developmental Stages of Carbonate Nobular Forms Related to Soil Characteristics. *Geoderma*, 28: 203-220.

- 40- Wieder M., Singer A., and Gvirtzman G. 1990. Morphological study of deep buried Jurassic basalt. Derived Paleosols from northern Israel. In: Douglas, L. A. Soil micromorphology: A basic and applied science. Developments in soil science. 19. Elsevier.



The Comparison of Micromorphological properties of Saline – Sodic and Nonsaline-Nonsodic Soils around the Urmia Lake

S. Chakherloo^{1*} - Sh. Manafi² - A. Heidari³

Received: 21-11-2013

Accepted: 26-07-2014

Abstract

In order to comparison of the micromorphic properties of saline-sodic and nonsaline-nonsodic soils in the west of Urmia Lake, four soil profiles (2profile in saline-sodic soils and 2profiles in nonsaline-nonsodic soils) were investigated. These profiles were described and sampled using standard methods. soil samples were used for physico chemical analysis and undisturbed and oriented samples were used for thin section preparation. Thin sections were studied using polarizing microscope in PPL and XPL lights. Thin sections studies showed that saline-sodic soils are structure less (apedal), and their voids are mostly vughs and channel and as a result, their, nonsaline-nonsodic soils are pedal with compound packing voids, vughs and planar voids and as a result, The b.fabric in these two group of soils is crystallitic. In saline sodic soils pedofeatures are illuvial clay coatings, salt accumulations including coatings and infillings of halite in channel and vughs. These pedofeatures were not seen in nonsaline-nonsodic soils. Organic coatings were seen as black colored films on peds and in some cases mixed with groundmass of saline-sodic soils. Calcium carbonate accumulations as nodules and coatings and nodules and coatings of iron and Mn oxides were seen in both saline-sodic and nonsaline-nonsodic soils.

Keywords: Micromorphology, Saline-Sodic Soils, Urmia Lake

1,2- M.Sc. Graduate and Assistant Professor, Department of Soil Science, University of Urmia
(* - Corresponding Author Email: saghar.chakherloo@yahoo.com)

3- Associate Professor Department of Soil Science, University of Tehran